

BULLETIN DES RELEVÉS NIVOMÉTRIQUES ET DES PRÉVISIONS HYDROLOGIQUES DU YUKON

Le 1^{er} mars 2022



Rédigé et publié par :
Direction des ressources en eau
Ministère de l'Environnement

PRÉFACE

Le *Bulletin des relevés nivométriques et des prévisions hydrologiques du Yukon* est publié trois fois par année – au début des mois de mars, d’avril et de mai – par la Direction des ressources en eau du ministère de l’Environnement. Le Bulletin présente un sommaire des conditions hydrologiques et météorologiques hivernales du Yukon, ainsi que des mesures de l’épaisseur de la couche de neige et de son équivalent en eau provenant de 57 stations. Ces mesures servent à évaluer les probabilités d’inondations printanières dues aux embâcles ou à d’importantes crues printanières provoquées par la fonte des neiges. Il est à noter que d’autres phénomènes, comme les pluies estivales et la fonte des glaciers, peuvent influencer considérablement sur les niveaux d’eau annuels maximums dans certains bassins hydrographiques du Yukon.

Le Bulletin s’améliore constamment grâce aux nouvelles technologies et aux commentaires provenant des utilisateurs et des partenaires. Les conditions météorologiques (températures et précipitations) moyennes de l’automne et de l’hiver sont présentées sur deux cartes qui couvrent tout le territoire et qui montrent les anomalies du 1^{er} octobre au 28 février. Une troisième carte présente l’équivalent en eau de la neige pour 11 bassins hydrographiques. Des données météorologiques et hydrologiques complémentaires pour chaque bassin sont communiquées au moyen d’une série de cinq graphiques, selon la disponibilité des données :

- **Figure A :** Équivalent en eau de la neige (EEN) quotidien à partir de septembre à un endroit précis du bassin hydrographique, ce qui donne un aperçu de l’accumulation de neige au cours de l’hiver.
- **Figure B :** Estimation de l’équivalent en eau de la neige (EEN) moyen actuel pour l’ensemble du bassin, calculée à partir des relevés nivométriques, comparée avec les données historiques et utilisée en guise d’indicateur des volumes de ruissellement potentiels au printemps (en tenant compte du fait que la sublimation de la neige, l’évapotranspiration, la pluie et la fonte des glaciers influent considérablement sur le ruissellement).
- **Figure C :** Précipitations hivernales mensuelles (pluie et neige) comparées avec les données historiques (période de relevé de 1980 à 2021). Ces données complètent celles illustrées à la figure B.
- **Figure D :** Degrés-jours de gel cumulés (DJGC, somme des températures quotidiennes inférieures à zéro) comparés avec les données historiques qui servent d’indicateurs de la rigueur de l’hiver et de l’épaisseur de la glace des rivières, des variables qui ont une incidence sur la débâcle printanière.
- **Figure E :** Estimation du débit quotidien ou niveau d’eau mesuré comparés avec les données historiques pour donner un aperçu des conditions hydrologiques du bassin.

On peut obtenir de l’information sur le Bulletin, l’accumulation de neige ou les prévisions hydrologiques en communiquant avec l’une des personnes suivantes :

Jonathan Kolot	Alexandre Mischler	Anthony Bier	Holly Goulding
Technologue en hydrologie	Technologue en hydrologie	Hydrologue intermédiaire	Hydrologue principale
867-667-3234	867-667-3144	867-667-5029	867-667-3223
jonathan.kolot@yukon.ca	alexandre.mischler@yukon.ca	anthony.bier@yukon.ca	holly.goulding@yukon.ca

Direction des ressources en eau, ministère de l’Environnement

Téléphone : 867-667-3171 ou (sans frais au Yukon, aux Territoires du Nord-Ouest et au Nunavut) 1-800-661-0408, poste 3171

Télécopieur : 867-667-3195 | Courriel : water.resources@yukon.ca

Le présent bulletin, tout comme les publications précédentes, est accessible au yukon.ca/fr/relevés-nivométriques.

ISSN 1705-883X

Veillez utiliser le titre suivant pour citer le présent document :

Bulletin des relevés nivométriques et des prévisions hydrologiques du Yukon, 1^{er} mars 2022

© Mars 2022

Direction des ressources en eau

Ministère de l'Environnement

Gouvernement du Yukon

C.P. 2703

Whitehorse (Yukon) Y1A 2C6

REMERCIEMENTS

Le Bulletin des relevés nivométriques fait partie du Programme des relevés nivométriques du Yukon, qui relève de la Direction des ressources en eau du ministère de l'Environnement du gouvernement du Yukon. D'autres organismes contribuent de manière importante au Programme et à la préparation du Bulletin en fournissant des données et de l'information :

- Responsable de la collecte des données, Service de la conservation des ressources naturelles, département de l'Agriculture des États-Unis
- Météorologiste, Section de la gestion des feux de forêt, ministère des Services aux collectivités du Yukon, Whitehorse
- Responsable, Relevés hydrologiques du Canada, Whitehorse
- Ingénieur en gestion des eaux, Société d'énergie du Yukon
- Technologues en recherche, Université McMaster

Organismes collaborant avec Environnement Yukon dans le cadre du Programme des relevés nivométriques :

- Ministère de l'Environnement de la Colombie-Britannique, Division de l'intendance des eaux
- Parcs Canada, parc national et réserve de parc national Kluane
- Ministère de la Voirie et des Travaux publics du Yukon
- Ministère de l'Énergie, des Mines et des Ressources du Yukon, Direction des inspections et du suivi de la conformité
- Ministère de l'Environnement du Yukon, Direction de la technologie et de la gestion de l'information
- Première Nation des Gwitchin Vuntut

AVIS DE NON-RESPONSABILITÉ

L'utilisateur comprend qu'il utilise les données à ses propres risques. L'utilisateur est le seul responsable de la vérification de l'exactitude, de la disponibilité, de la pertinence, de la fiabilité, de la convivialité, de l'exhaustivité ou de l'actualité des données.

L'utilisateur accepte les données en l'état et comprend que le gouvernement du Yukon ne fait aucune représentation ni ne donne aucune garantie (expresses ou implicites), qu'il s'agisse de garanties implicites de qualité marchande, d'adaptation à un usage particulier, d'absence de contrefaçon ou autre, quant à l'exactitude, à la disponibilité, à la pertinence, à la fiabilité, à la convivialité, à l'exhaustivité ou à l'actualité des données.

En ce qui a trait à l'accès aux données, l'utilisateur accepte aussi qu'en aucun cas le gouvernement du Yukon ne sera tenu responsable (ni soumis à une obligation délictuelle ou contractuelle), d'une façon ou d'une autre, envers l'utilisateur ou une autre entité juridique pour ce qui est de l'exactitude, de la disponibilité, de la pertinence, de la fiabilité, de la convivialité, de l'exhaustivité ou de l'actualité des données, y compris, une perte de revenu ou de profit, ou d'un dommage direct, indirect, spécial, fortuit ou immatériel qui découlerait de l'utilisation des données ou qui y serait lié.

CONDITIONS MÉTÉOROLOGIQUES ET NIVOLOGIQUES SUR LE TERRITOIRE DU YUKON

Après un début d'hiver sec en octobre, la tendance s'est inversée et des précipitations supérieures à la normale ont été enregistrées pour la majeure partie du territoire jusqu'en février. La région de Watson Lake sort du lot : les totaux mensuels ont atteint de nouveaux records en novembre, en janvier et en février. Février a été marquant dans bon nombre de localités. En effet, de nouveaux totaux mensuels records ont été enregistrés à Watson Lake, à Dawson et à Mayo; dans toutes les autres collectivités, sauf Old Crow, les données ont frôlé les records établis. Bien que les anomalies de température globale aient été près ou légèrement au-dessus des normales¹ dans l'ensemble du territoire, les températures atteintes pendant les périodes de froid extrême de décembre et de janvier ont été parmi les plus basses enregistrées ces dernières années.

Octobre

En octobre, les températures ont été douces sur l'ensemble du territoire; toutes les stations météorologiques de mesure à long terme ont enregistré des températures légèrement plus chaudes que les normales. Les données relatives aux précipitations présentaient un portrait plus varié et une nette division nord-sud : le nord et le centre du Yukon ont enregistré des précipitations (pluie et neige) près ou légèrement au-dessus des normales pendant le mois, tandis que le sud du Yukon était plus près de 50 % des normales, sauf Watson Lake, où les données ne correspondaient qu'à 20 % des normales. Parmi les événements météorologiques notables, citons de la pluie verglaçante au milieu du mois à Dawson, qui a forcé la fermeture de la route durant plusieurs heures.

Novembre

Le mois de novembre a été généralement orageux dans le centre et le sud du Yukon sous le déplacement vers le nord d'une trajectoire de tempête après un mois d'octobre relativement calme. Bien que la plupart des tempêtes aient été relativement faibles, ce qui a entraîné des précipitations presque normales, un peu plus de 90 mm sont tombés sur Watson Lake pendant le mois, ce qui correspond à 30 % des valeurs normales. Les températures ont généralement oscillé entre 2 et 3 degrés au-dessus et en dessous des normales. Aucune tendance régionale particulière n'a été observée.

¹ Les données historiques de température, de précipitations, d'équivalent en eau de la neige, de débit et de niveaux d'eau n'ont pas toujours été compilées sur une période assez longue, c'est-à-dire 30 ans, pour établir une « normale ». C'est pourquoi dans le présent document on parle de « moyenne historique » ou, tout simplement, de « moyenne ». Les données historiques auxquelles ce bulletin fait référence sont toujours suffisamment étendues dans le temps pour être représentatives des conditions hydrométéorologiques récentes.

Décembre

Le mois de décembre a été marqué par des chutes de neige : toutes les stations enregistrant des relevés à long terme fiables ont mesuré des précipitations supérieures ou bien supérieures à la normale. Même si des chutes de neige entraînant des accumulations de 5 à 10 cm pendant plusieurs jours ne sont pas remarquables dans le sud du Canada, au Yukon, elles peuvent établir de nouveaux records mensuels. La seconde moitié du mois a été caractérisée par de telles chutes de neige dans le centre et le sud du territoire. À la fin du mois, Burwash avait enregistré des précipitations correspondant à 380 % des normales et Whitehorse, à 290 %. Des masses d'air arctique fréquentes et persistantes ont fait baisser les températures en deçà des normales sur la majeure partie du territoire, quoique ces écarts aient été moins notables que pour les précipitations. Ces masses d'air froid, en rencontrant l'air plus chaud et plus humide provenant du golfe d'Alaska, ont été la principale cause des chutes de neige.

Janvier

Janvier a surtout été marqué par des masses d'air arctique qui ont recouvert l'ensemble du territoire au début du mois. Ces périodes froides n'ont toutefois pas duré, et la plupart des stations ont enregistré des températures mensuelles médianes très près des normales historiques. Des chutes de neige supérieures à la normale, provoquées par des masses d'air chaud venues du Pacifique opposées à des masses d'air arctique tôt dans la deuxième semaine du mois, sont tombées sur le sud et le centre du Yukon. La région de Watson Lake s'est distinguée encore une fois en recevant 99 mm, soit 320 % des précipitations normales pour janvier.

Février

On pourrait qualifier les conditions météorologiques de février de chaudes et d'humides causées par une tendance orageuse venue de l'ouest qui a laissé place à de l'air plus chaud provenant du sud du pays vers la fin du mois. À l'exception des régions d'Old Crow et de Mayo, les températures sur le territoire étaient de 3 à 7 degrés plus chaudes que les normales. Les précipitations se sont situées entre 250 % et 430 % des normales, sauf pour Old Crow (110 %) et Carcross (90 %). Il convient d'apporter une nuance quant aux anomalies de précipitations, car les normales pour février peuvent se situer entre 10 et 20 mm.

Accumulation de neige

Au 1^{er} mars 2022, l'accumulation de neige est supérieure ou très supérieure à la normale pour l'ensemble du Yukon. Les profils de neige individuels pour de nombreuses régions confirment des accumulations de neige records : dans 26 des 57 stations, les données enregistrées étaient égales ou supérieures aux records mensuels établis. Parmi ces stations, 9 ont enregistré des records absolus et 5 ont enregistré des données frôlant les records historiques.

Les estimations de l'accumulation de neige moyennes dans les bassins hydrographiques varient entre 130 % de la médiane pour la rivière Alsek et 201 % pour le centre du Yukon (région de Carmacks). Des estimations d'accumulation de la neige ont été les plus élevées à avoir été enregistrées dans le bassin central du fleuve Yukon, le bassin inférieur du fleuve Yukon à Dawson (185 %) et le bassin de la rivière Pelly (177 %). L'accumulation de la neige la plus importante pour cette période de l'année a été observée dans les bassins des rivières White (171 %), Teslin (164 %), Peel (155 %) et Stewart (148 %), tandis que les données pour le bassin de la rivière Liard (173 %) étaient près du maximum historique pour cette période de l'année. Les estimations pour le bassin supérieur du fleuve Yukon (lacs du Sud/Whitehorse) (156 %), le bassin de la rivière Porcupine (140 %) et le bassin de la rivière Alsek (130 %) étaient au-dessus des médianes historiques.

En général, au début du mois de mars, l'accumulation de neige annuelle atteint environ 85 %.

CONDITIONS D'ÉCOULEMENT ET PERSPECTIVES POUR LE YUKON

L'estimation de l'écoulement hivernal est basée sur une combinaison de mesures hivernales prises périodiquement, de données historiques et de tendances régionales. Cependant, tous les sites n'ont pas été visités récemment. Il est donc à noter que les estimations de l'écoulement sont provisoires pour toutes les stations.

Les estimations de l'écoulement et des niveaux d'eau aux stations ci-dessous sont près des moyennes ou supérieures aux moyennes. Les estimations pour les rivières Alsek et White sont près des maximums historiques tandis que les données pour les rivières Pelly et Stewart et le fleuve Yukon à la hauteur de la rivière White sont supérieures aux valeurs moyennes. Les données pour Marsh Lake, qui sont en deçà des moyennes et résultent de la stratégie de gestion d'Énergie Yukon au début des crues printanières, font exception.

L'accumulation de neige supérieure à la médiane dans un grand nombre de bassins rend probables des crues printanières importantes. On s'attend aussi à des niveaux d'eau supérieurs aux normales dans les lacs cet été.

Le niveau maximal des crues printanières dépendra des tendances au printemps. Les conditions météorologiques au printemps et à l'été influenceront sur les débits et le niveau des lacs dans les bassins touchés par la fonte des glaciers.

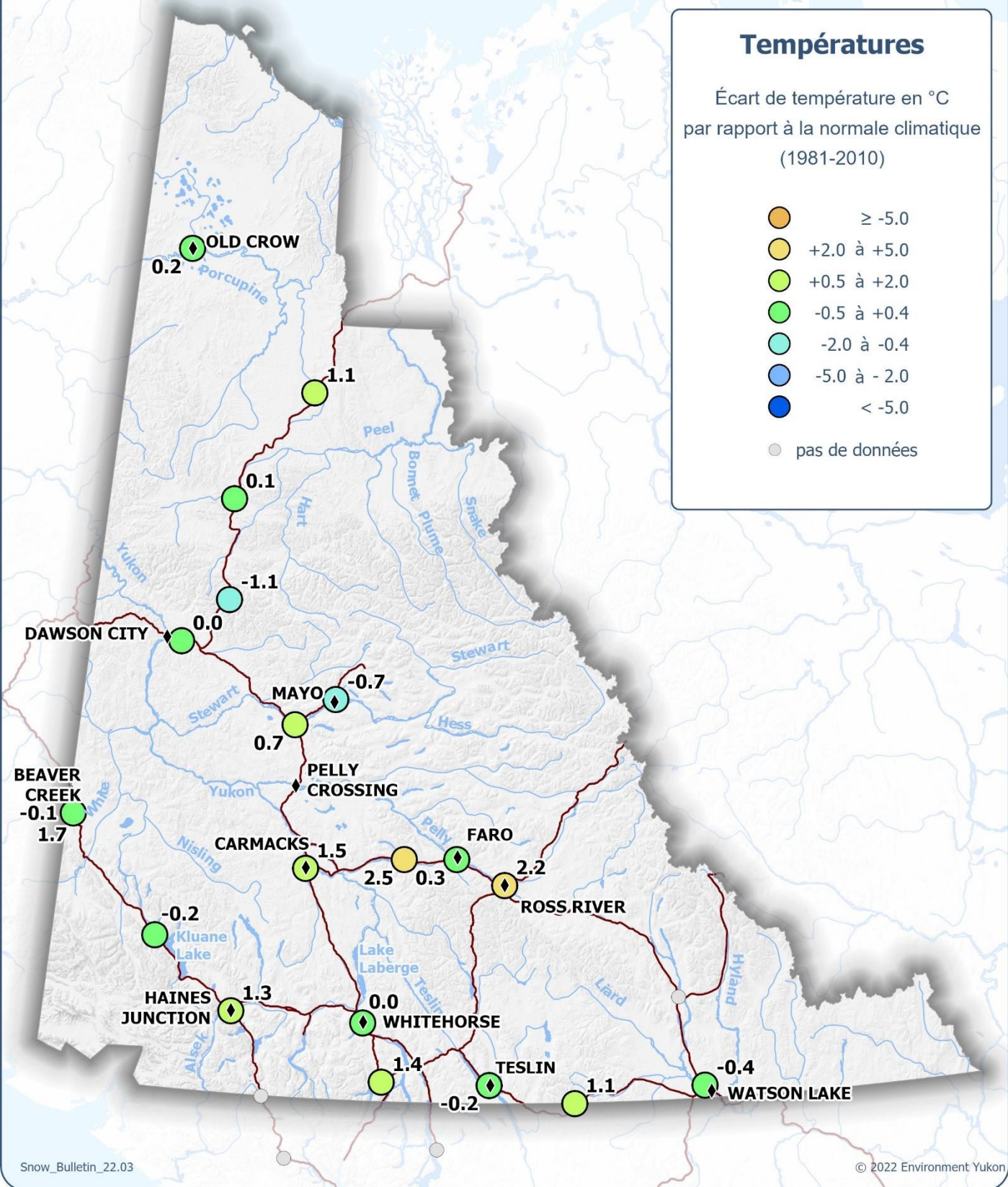
Anomalies des températures – oct 2021 à fév 2022

Territoire du Yukon

Températures

Écart de température en °C
par rapport à la normale climatique
(1981-2010)

- ≥ -5.0
- +2.0 à +5.0
- +0.5 à +2.0
- -0.5 à +0.4
- -2.0 à -0.4
- -5.0 à -2.0
- < -5.0
- pas de données

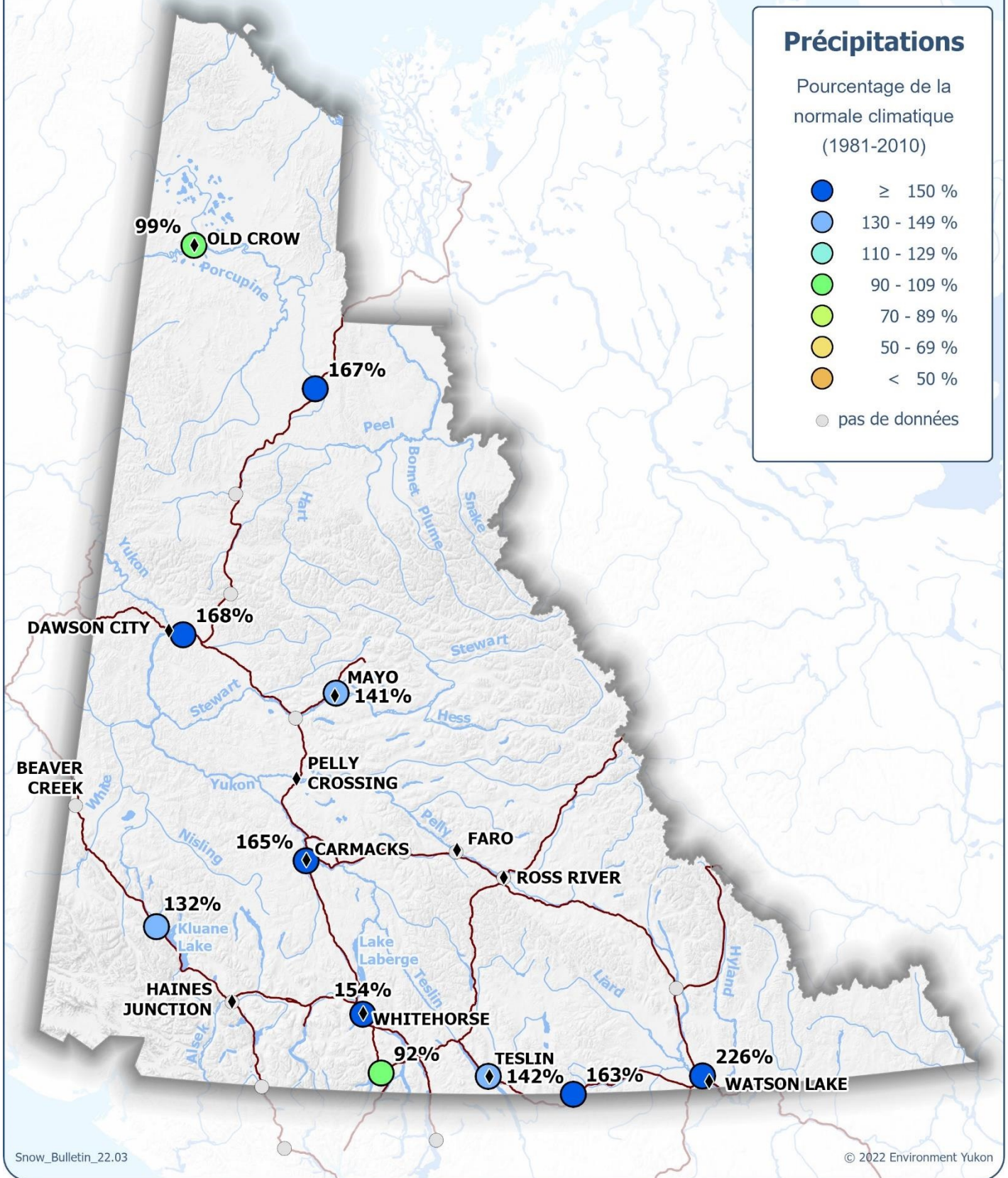


Snow_Bulletin_22.03

© 2022 Environment Yukon

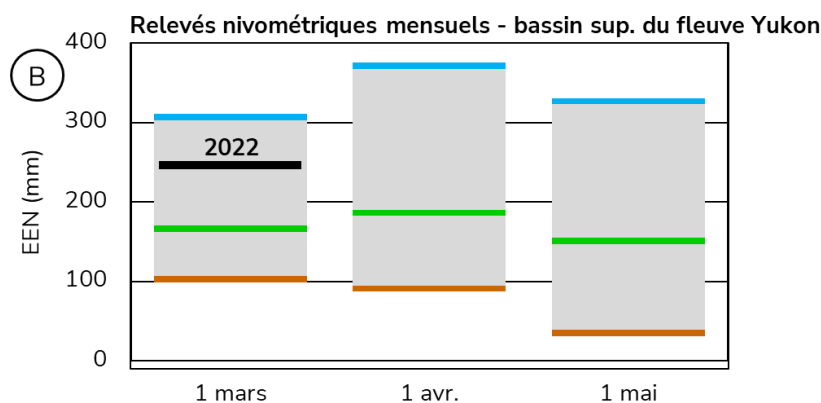
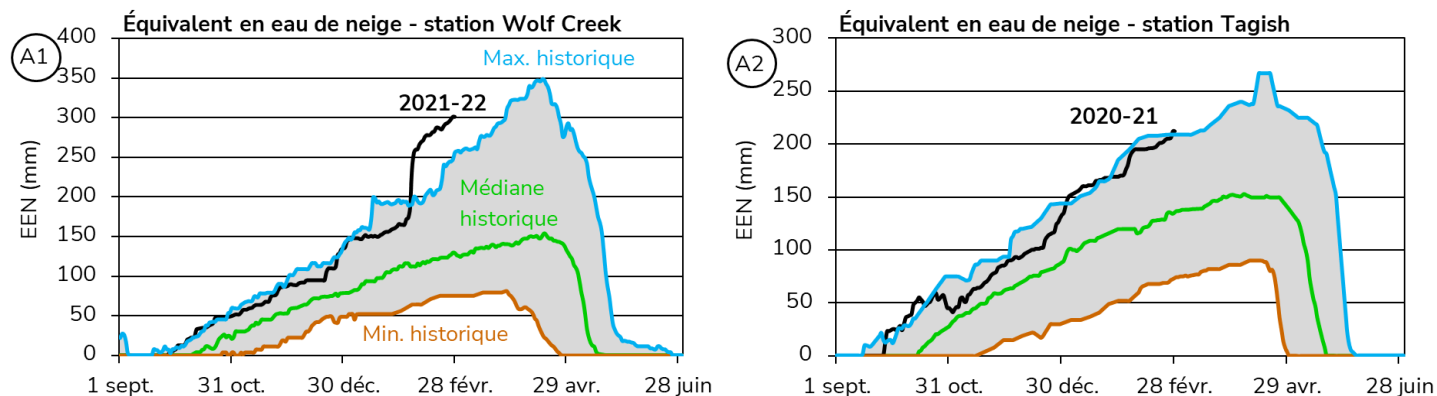
Précipitations – oct. 2021 à fév. 2022

Territoire du Yukon

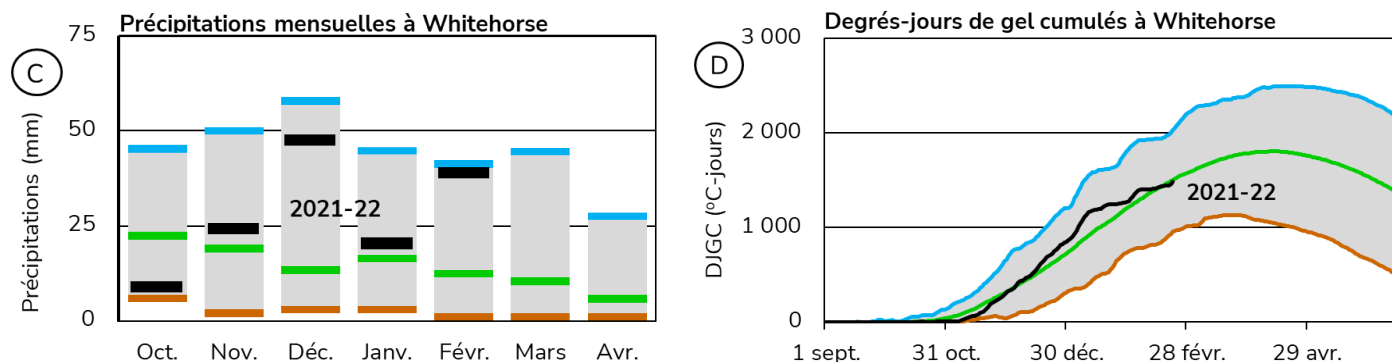


BASSIN SUPÉRIEUR DU FLEUVE YUKON (LACS DU SUD/WHITEHORSE)

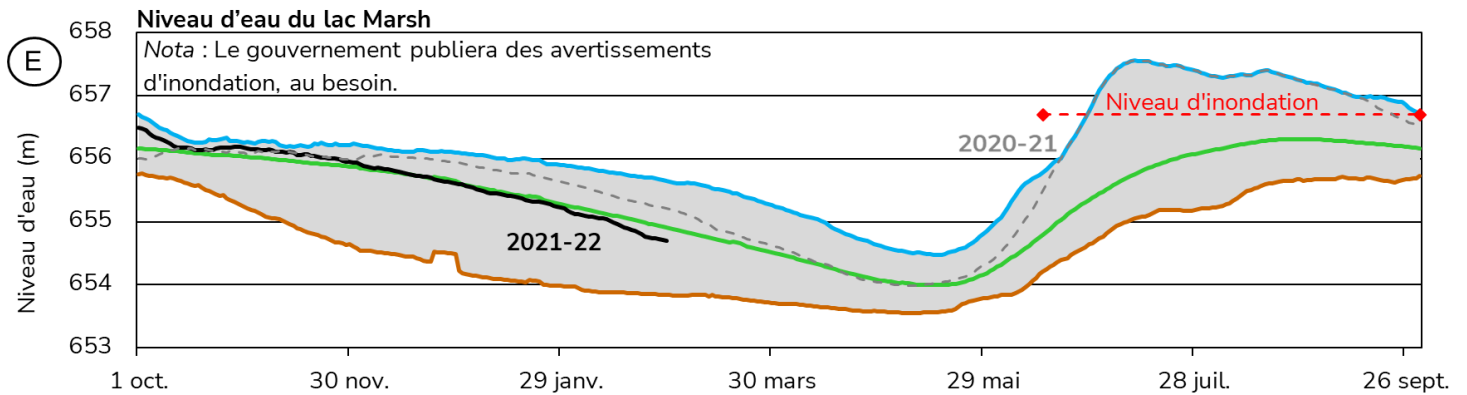
À la station subalpine du ruisseau Wolf, l'équivalent en eau de la neige (EEN) est estimé à **232 %** de la **médiane historique** (figure A1). À la station Tagish, il est estimé à **156 %** de la **médiane historique** (figure A2). Au 1^{er} mars, l'équivalent en eau de la neige moyen dans le bassin supérieur du fleuve Yukon est estimé à **156 %** de la **médiane historique**, soit à **266 mm** (figure B). Il s'agit d'une **accumulation de neige importante** pour la région.



Après des **conditions sèches** au mois d'octobre, les précipitations mensuelles à l'aéroport de Whitehorse ont été **supérieures à la médiane** pendant tout l'hiver (figure C). Au 1^{er} mars, les précipitations cumulées sont **bien supérieures à la médiane**. Les degrés-jours de gel cumulés sont aussi **près de la moyenne**, soit à 1 520 °C-jours (figure D), ce qui porte à croire que l'épaisseur du couvert de glace sur les rivières et les lacs de la région est **près des normales**.

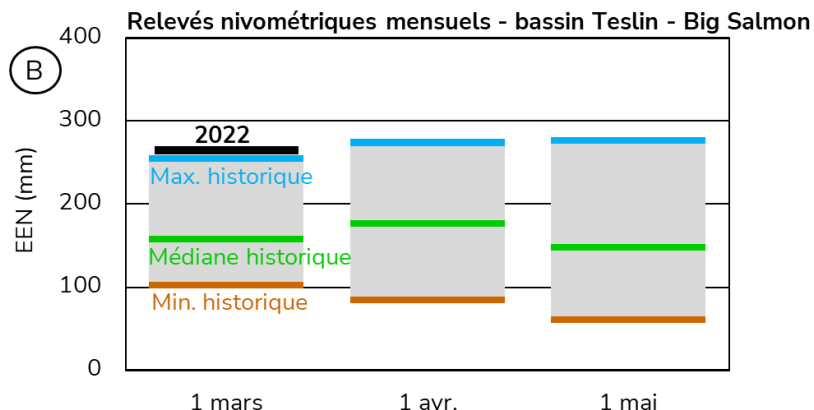


L'élévation du niveau d'eau (par rapport au niveau de la mer) du lac Marsh est actuellement **inférieure à la moyenne** (figure E), résultat de la stratégie de gestion d'Énergie Yukon au début des crues printanières. Les niveaux d'eau dans les lacs du Sud dépendent de l'effet combiné de la fonte des neiges, des précipitations estivales et de la fonte des glaciers. Les conditions de neige actuelles portent à croire que les niveaux d'eau seront **bien supérieurs à la moyenne** cet été. Toutefois, les conditions météorologiques au printemps et à l'été détermineront le niveau maximal dans le lac Marsh, qui est habituellement atteint à la fin de l'été et qui s'explique par un ruissellement glaciaire maximal et de fortes précipitations.

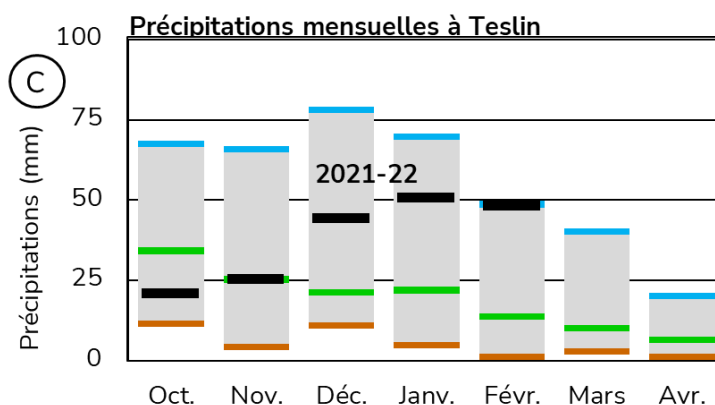


BASSIN DE LA RIVIÈRE TESLIN

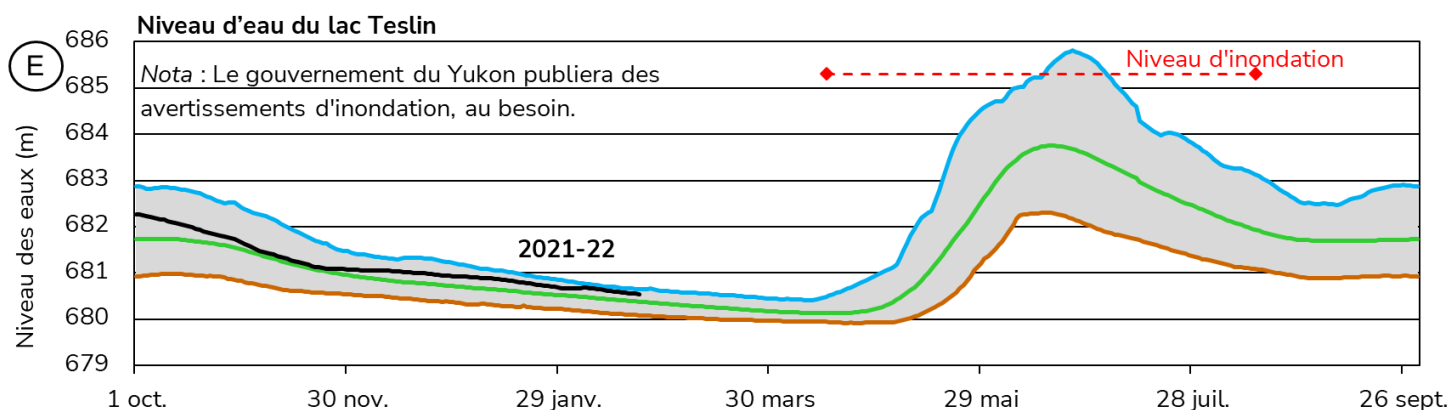
Au 1^{er} mars, l'équivalent en eau de la neige (EEN) moyen du bassin de la rivière Teslin est estimé à **164 %** de la **médiane historique**, soit à **265 mm** (figure B). Il s'agit de l'**estimation de l'accumulation de la neige la plus élevée jamais enregistrée** dans ce bassin pour cette période de l'année.



À Teslin, les précipitations mensuelles sont **supérieures à la médiane** depuis décembre (figure C). Au 1^{er} mars, les précipitations cumulatives sont **bien supérieures à la médiane**.

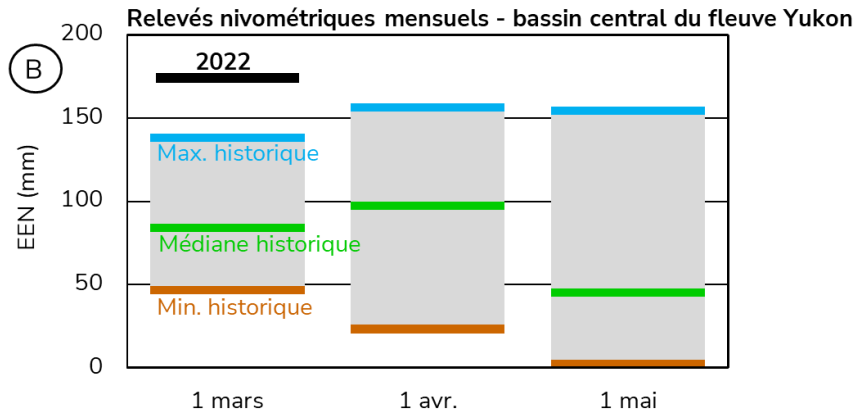


L'élévation du niveau d'eau (par rapport au niveau de la mer) du lac Teslin est actuellement **supérieure à la moyenne** (figure E). L'accumulation de neige **record** et le niveau d'eau **supérieur à la moyenne** portent à croire que les niveaux d'eau pourraient être **bien supérieurs à la moyenne** cet été. Le scénario printanier dépendra des conditions météorologiques en mars et en avril.

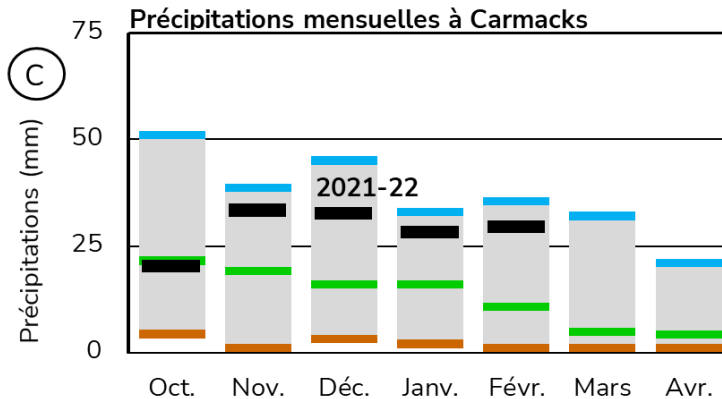


BASSIN CENTRAL DU FLEUVE YUKON (RÉGION DE CARMACKS)

Au 1^{er} mars, l'équivalent en eau de la neige (EEN) moyen dans le bassin central du fleuve Yukon est estimé à **201 %** de la **médiane historique**, soit à **174 mm** (figure B). Il s'agit de l'**estimation de l'accumulation de la neige la plus élevée jamais enregistrée** dans ce bassin (depuis 1980).



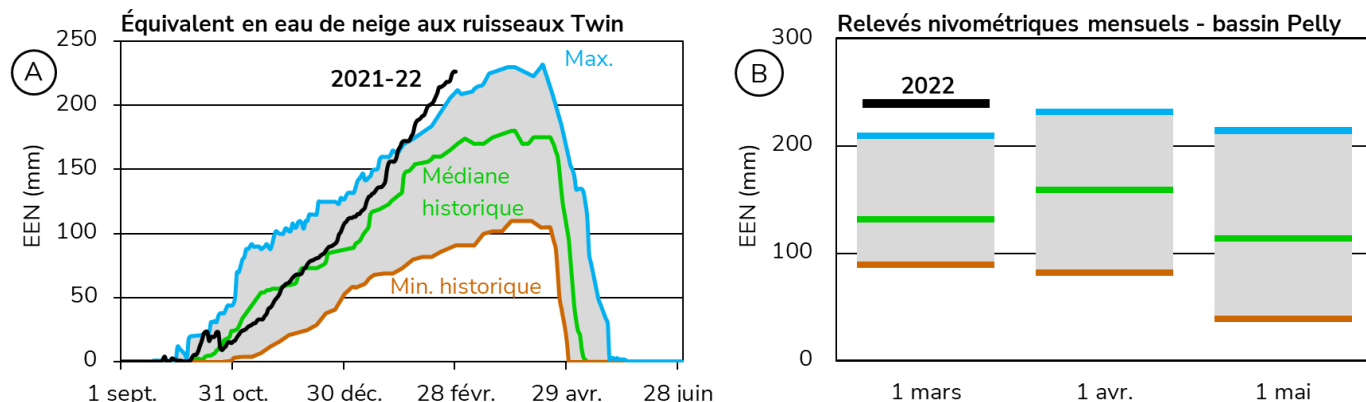
À Carmacks, les précipitations mensuelles sont **supérieures à la médiane** depuis novembre (figure C). Au 1^{er} mars, les précipitations cumulatives sont **bien supérieures à la médiane**.



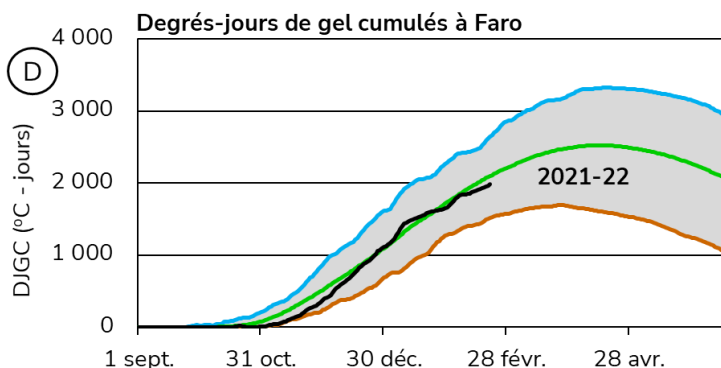
Les niveaux d'eau dans les rivières de la région de Carmacks sont susceptibles d'être **bien supérieurs à la moyenne** au printemps et à l'été, et les **probabilités de crues printanières importantes sont élevées**. Le scénario printanier dépendra des conditions météorologiques en mars et en avril.

BASSIN DE LA RIVIÈRE PELLY

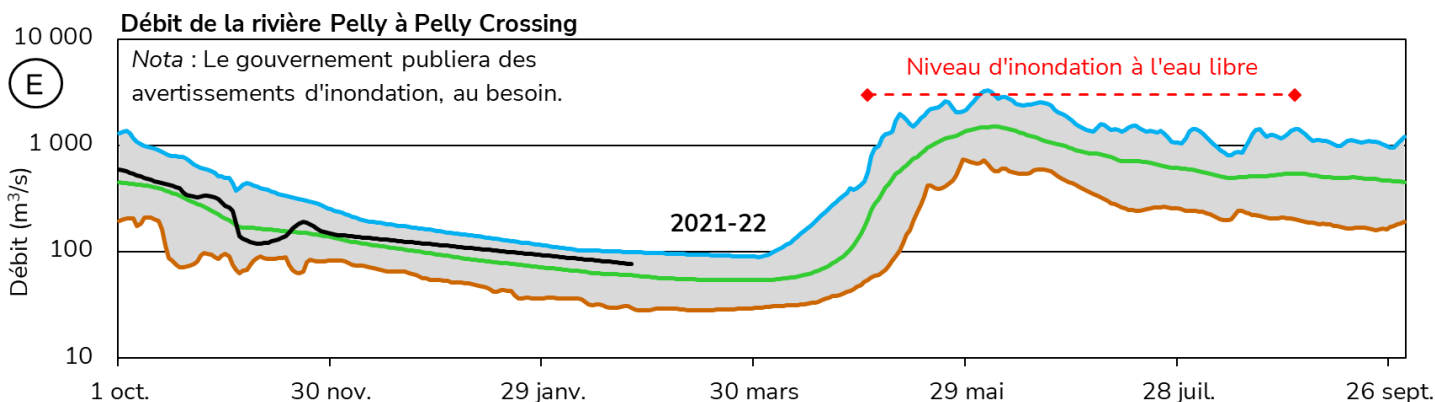
À la station des ruisseaux Twin, l'équivalent en eau de la neige (EEN) est estimé à **134 %** de la **médiane historique** (figure A). Au 1^{er} mars, l'équivalent en eau de la neige moyen dans le bassin de la rivière Pelly est estimé à **177 %** de la **médiane historique**, soit à **239 mm** (figure B). Il s'agit de l'**estimation de l'accumulation de la neige la plus élevée jamais enregistrée** dans ce bassin (depuis 1980).



Aucune donnée sur les précipitations n'a été enregistrée à Faro, mais les observations relatives à l'accumulation de la neige suggèrent des valeurs **supérieures aux normales climatiques**. À Faro, les degrés-jours de gel cumulés sont **légèrement inférieurs à la moyenne**, soit à 2 090 °C-jours (figure D), ce qui porte à croire que l'épaisseur du couvert de glace des rivières et des lacs de la région est **près de la normale**.

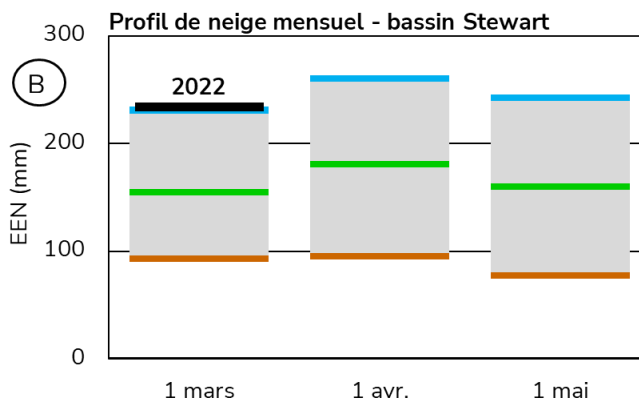
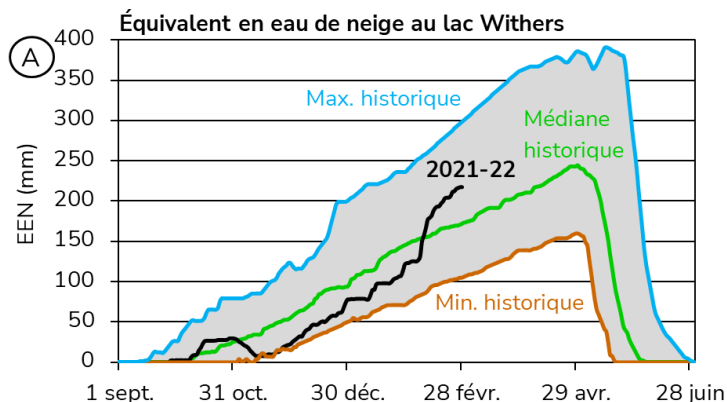


Le débit estimé de la rivière Pelly à Pelly Crossing est actuellement **supérieur à la moyenne** (figure E). L'accumulation de neige **record** dans le bassin indique que les **probabilités de crues printanières importantes sont élevées**. Le scénario printanier dépendra des conditions météorologiques en mars et en avril.

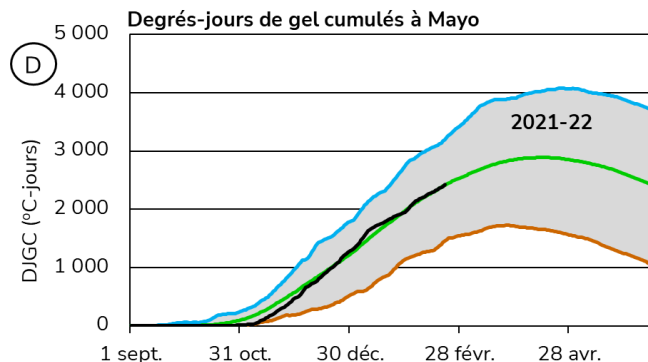
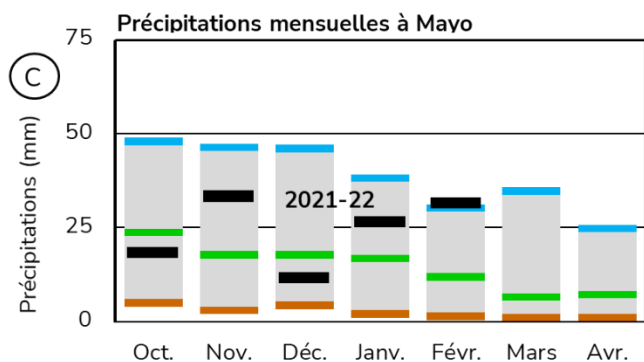


BASSIN DE LA RIVIÈRE STEWART

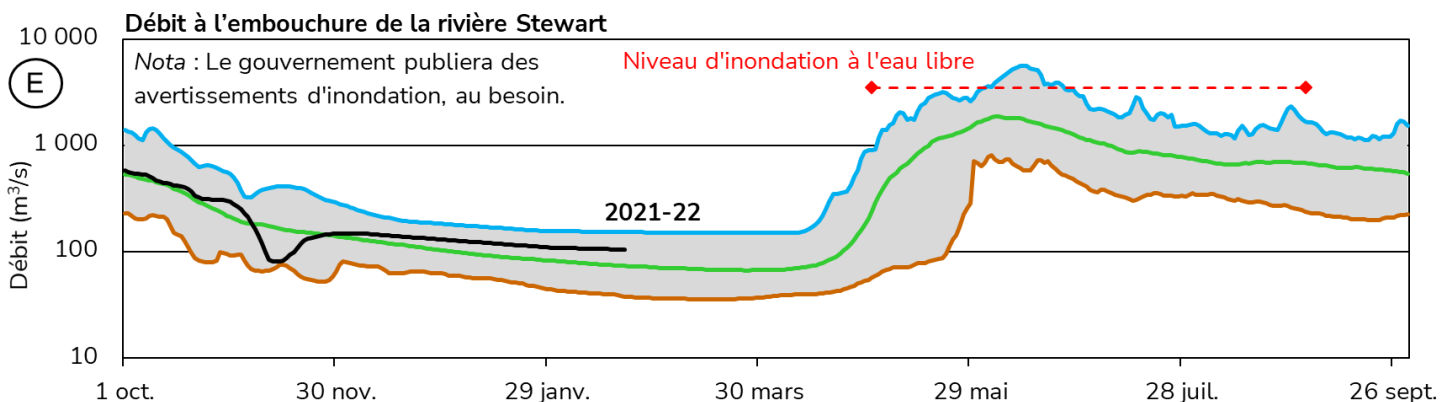
À la station météorologique du lac Withers, l'équivalent en eau de la neige (EEN) est estimé à **122 %** de la **médiane historique** (figure A). Au 1^{er} mars, l'équivalent en eau de la neige moyen dans le bassin de la rivière Stewart est estimé à **148 %** de la **médiane historique**, soit à **234 mm** (figure B). Il s'agit de l'**estimation de l'accumulation de la neige la plus élevée jamais enregistrée** pour ce bassin pour cette période de l'année.



À l'aéroport de Mayo, les précipitations étaient **légèrement inférieures à la médiane** en octobre et en décembre, mais les précipitations **supérieures à la médiane** dans les mois suivants, dont un mois de février aux conditions humides records, ont porté les précipitations cumulatives **au-delà de la médiane** au 1^{er} mars (figure C). Les degrés-jours de gel cumulés sont **près de la moyenne**, soit à 2 550 °C-jours (figure D), ce qui porte à croire que l'épaisseur du couvert de glace sur les rivières et les lacs de la région est **près des normales**.

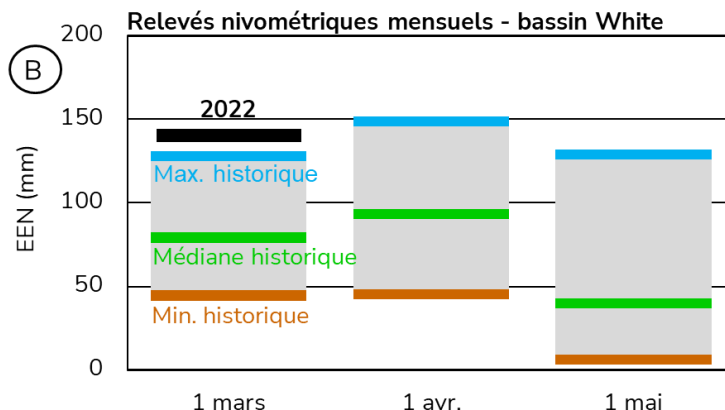


Le débit estimé à l'embouchure de la rivière Stewart est actuellement **supérieur à la moyenne** (figure E). L'accumulation de neige **record** indique que les **probabilités de crues printanières importantes sont élevées**. Le scénario printanier dépendra des conditions météorologiques en mars et en avril.

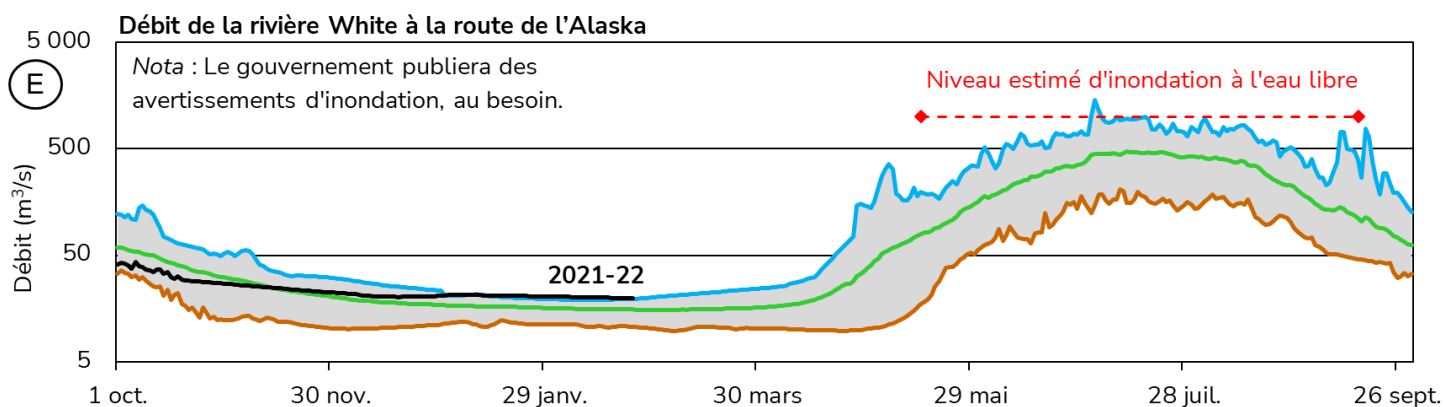


BASSIN DE LA RIVIÈRE WHITE

Au 1^{er} mars, l'équivalent en eau de la neige (EEN) moyen dans le bassin de la rivière White est estimé à **171 %** de la **médiane historique**, soit à **140 mm** (figure B). Il s'agit de l'**estimation de l'accumulation de la neige la plus élevée jamais enregistrée** pour ce bassin pour cette période de l'année.

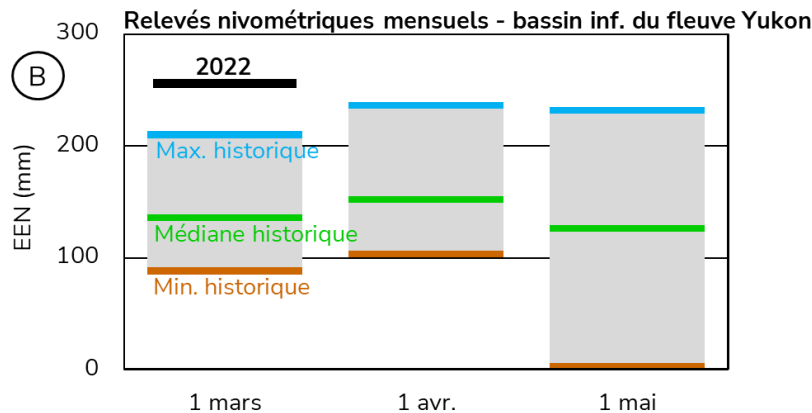


Le débit estimé de la rivière White à la route de l'Alaska est actuellement **bien supérieur à la moyenne** (figure E). Dans ce bassin hydrographique, les débits élevés dépendent surtout de la fonte des neiges en montagne et de la fonte des glaciers, qui sont grandement influencées par les températures et les précipitations estivales. L'accumulation de neige **record** indique que les **probabilités de crues printanières importantes sont élevées**. Le débit maximal dépendra des conditions météorologiques au printemps et à l'été.

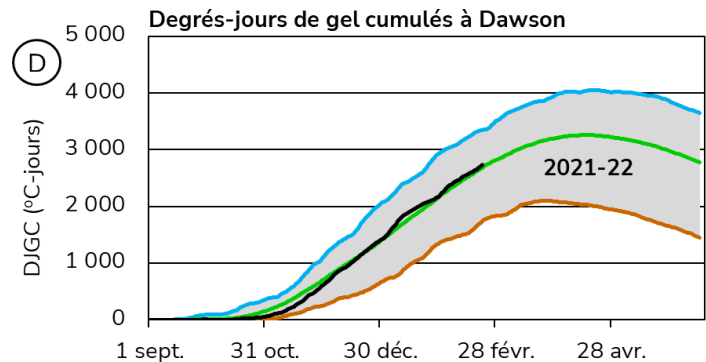
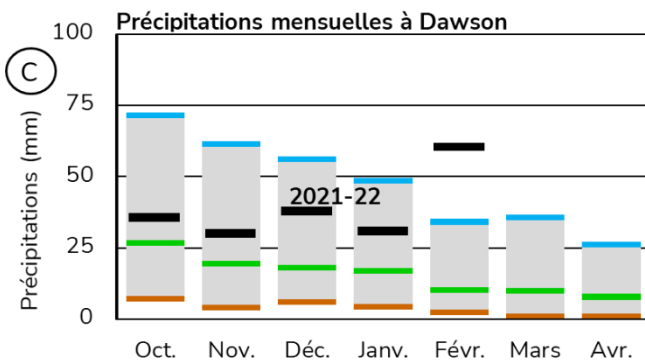


BASSIN INFÉRIEUR DU FLEUVE YUKON (RÉGION DE DAWSON)

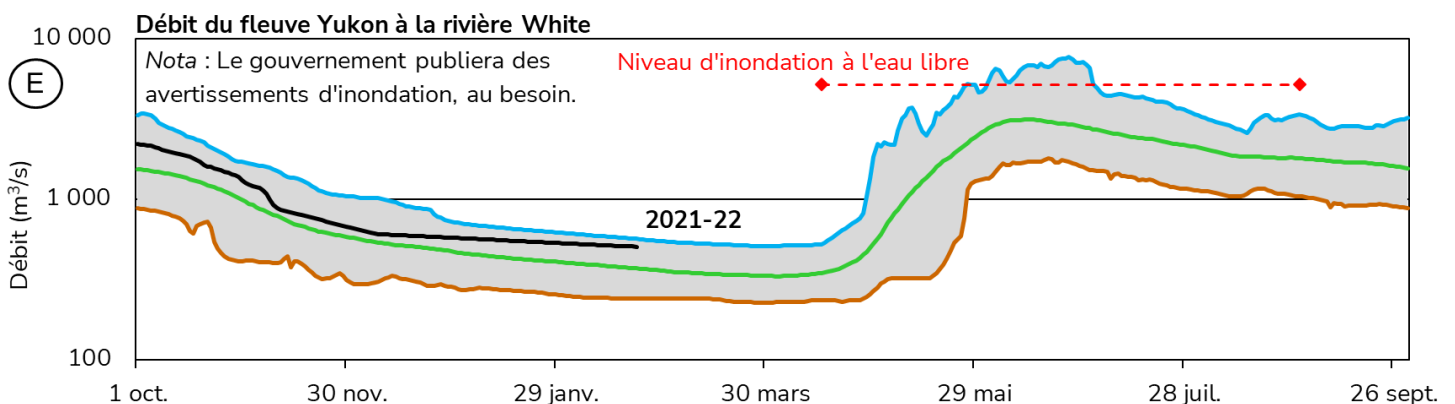
Au 1^{er} mars, l'équivalent en eau de la neige (EEN) moyen dans le bassin inférieur du fleuve Yukon est estimé à **185 %** de la **médiane historique**, soit à **256 mm** (figure B). Il s'agit de l'**estimation de l'accumulation de la neige la plus élevée jamais enregistrée** dans ce bassin (depuis 1980).



Les précipitations mensuelles à l'aéroport de Dawson ont été **supérieures à la médiane** tout l'hiver et ont établi un **nouveau record** pour février (figure C). Les degrés-jours de gel cumulés sont **près de la moyenne**, soit à 2 810 °C-jours (figure D), ce qui porte à croire que l'épaisseur du couvert de glace sur les rivières et les lacs de la région est **près des normales**.

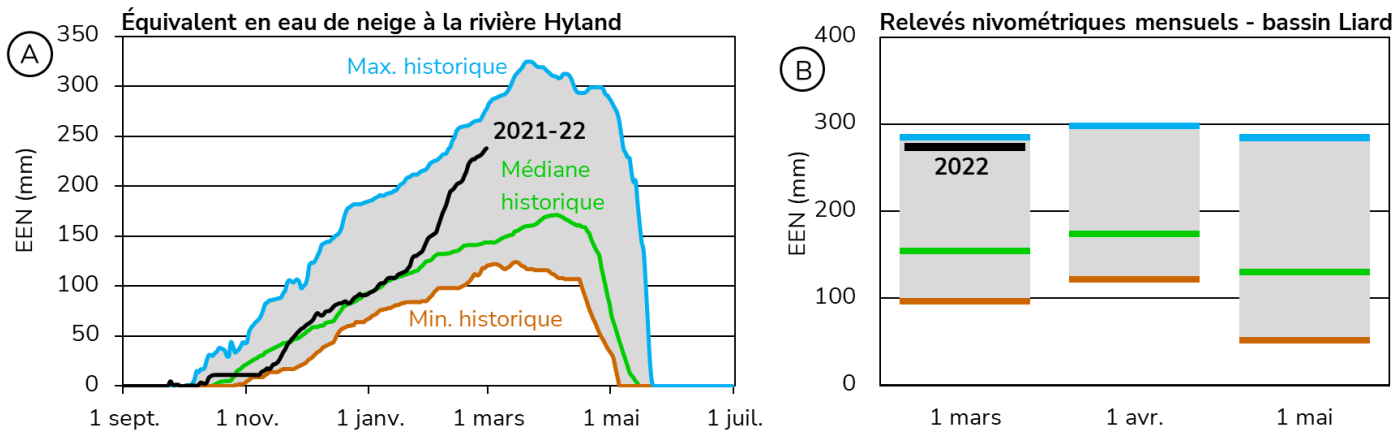


Le débit estimé du fleuve Yukon à la rivière White est **bien supérieur à la moyenne** (figure E). L'accumulation de neige **record** dans le bassin indique que les **probabilités de crues printanières importantes sont élevées**. Ces observations valent aussi pour la rivière Klondike. Le scénario printanier dépendra des conditions météorologiques en mars et en avril.

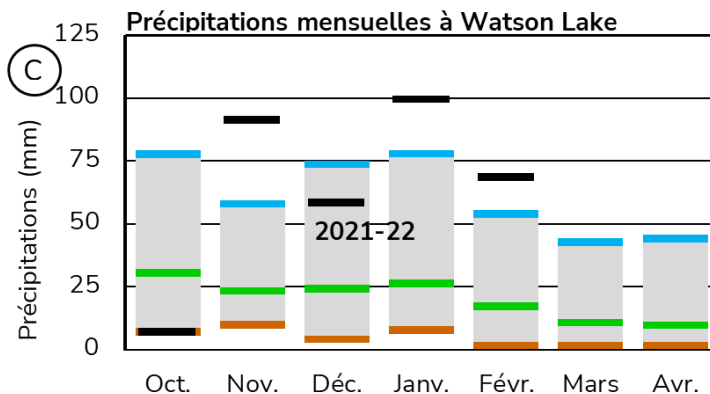


BASSIN DE LA RIVIÈRE LIARD

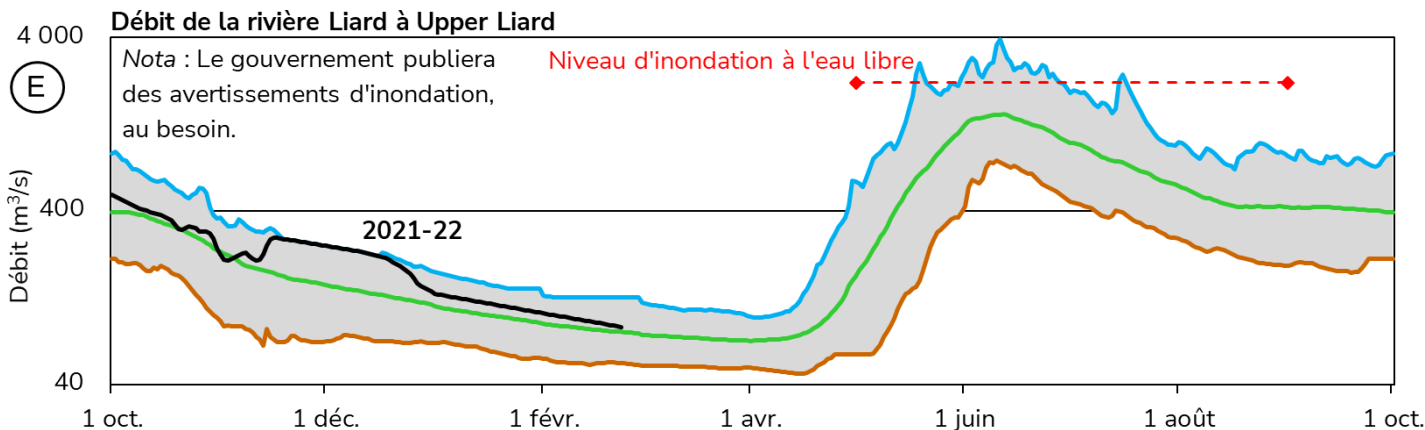
À la station météorologique Hyland, l'équivalent en eau de la neige (EEN) est estimé à **165 %** de la **médiane historique** (figure A). Au 1^{er} mars, l'équivalent en eau de la neige moyen dans le bassin de la rivière Liard est estimé à **173 %** de la **médiane historique**, soit à **274 mm** (figure B). Il s'agit d'une **accumulation de neige importante** pour la région.



Les précipitations cumulatives enregistrées à l'aéroport de Watson Lake sont **bien supérieures à la moyenne** (figure C). Après des **conditions sèches records** en octobre, de nouveaux **records d'humidité** ont été atteints en novembre, en janvier et en février.

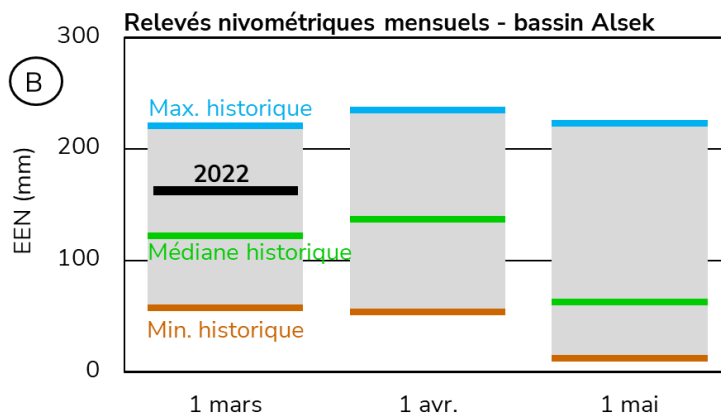


Le débit estimé de la rivière Liard à Upper Liard est actuellement **légèrement supérieur à la moyenne** (figure E). La **très importante** accumulation de neige dans le bassin indique que les **probabilités de crues printanières importantes sont élevées**. Le scénario printanier dépendra des conditions météorologiques en mars et en avril.

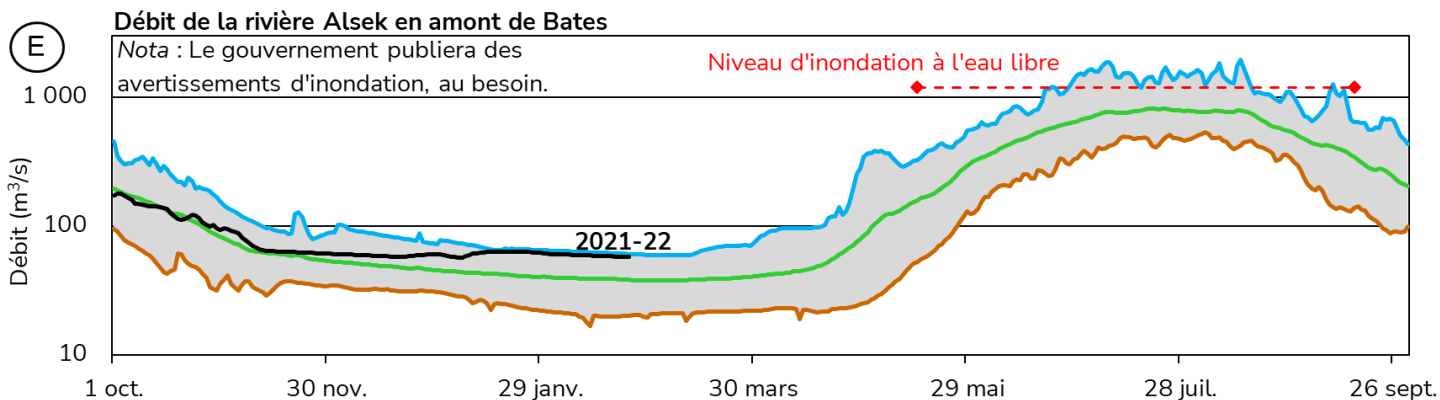


BASSIN DE LA RIVIÈRE ALSEK

Au 1^{er} mars, l'équivalent en eau de la neige (EEN) moyen dans le bassin de la rivière Alsek est estimé à **130 % de la médiane historique**, soit à **162 mm** (figure B).

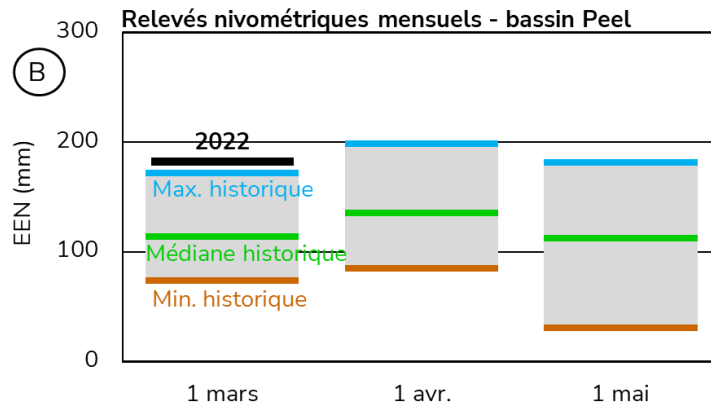


Le débit estimé de la rivière Alsek est actuellement **bien supérieur à la moyenne** (figure E). Les débits élevés dans ce bassin hydrographique dépendent surtout de la fonte des neiges en montagne et de la fonte des glaciers, qui sont grandement influencées par les températures et les précipitations estivales. L'accumulation de neige dans les monts St. Elias entraînera vraisemblablement des **crues printanières supérieures à la moyenne**. Le débit maximal dépendra des conditions météorologiques au printemps et à l'été.

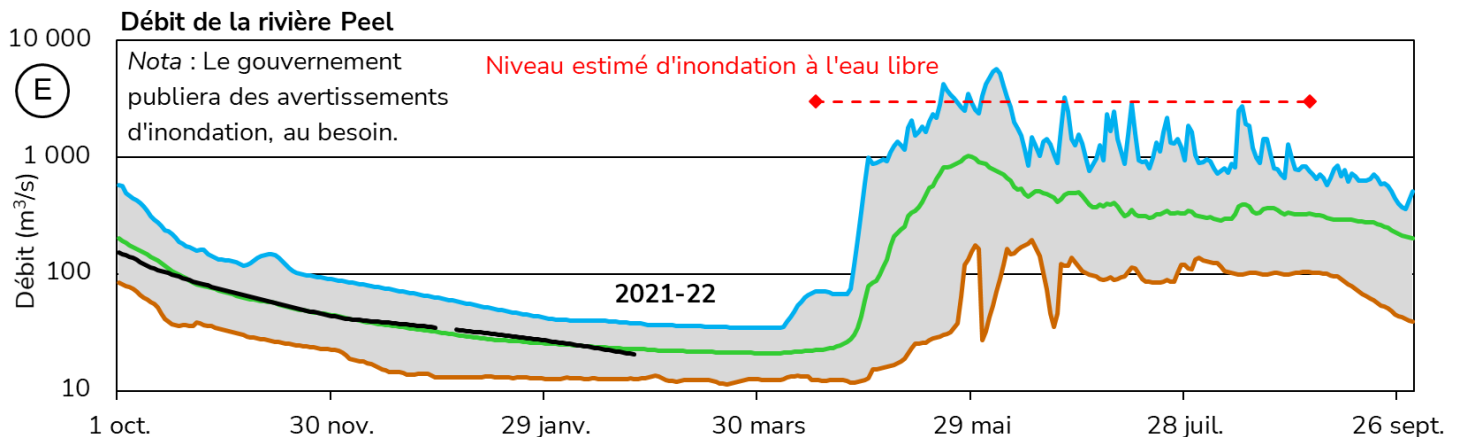


BASSIN DE LA RIVIÈRE PEEL

Au 1^{er} mars, l'équivalent en eau de la neige moyen dans le bassin de la rivière Peel est estimé à **155 %** de la **médiane historique**, soit à **182 mm** (figure B). Il s'agit de l'**estimation de l'accumulation de la neige la plus élevée jamais enregistrée** pour ce bassin pour cette période de l'année.

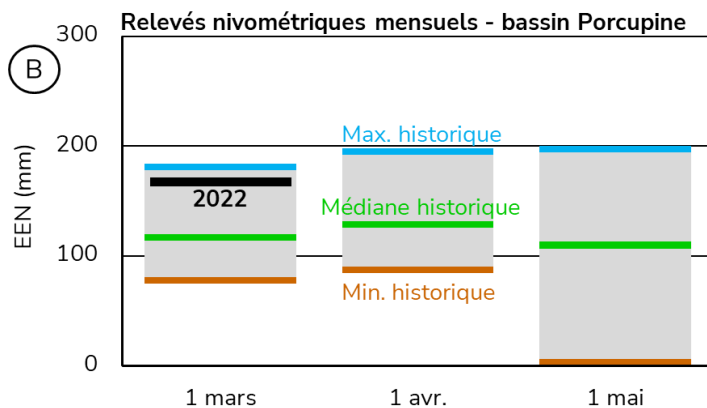


Le débit estimé de la rivière Peel est **près de la moyenne** (figure E). L'accumulation de neige **record** indique que les **probabilités de crues printanières importantes sont élevées**. Le scénario printanier dépendra des conditions météorologiques en mars et en avril.

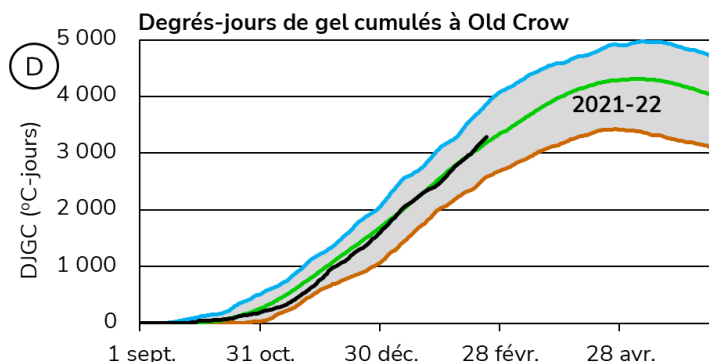
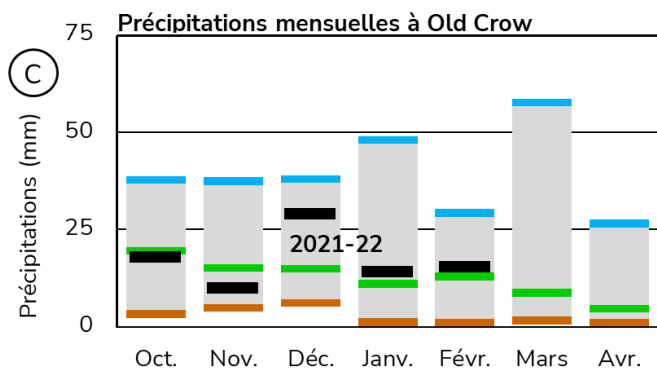


BASSIN DE LA RIVIÈRE PORCUPINE

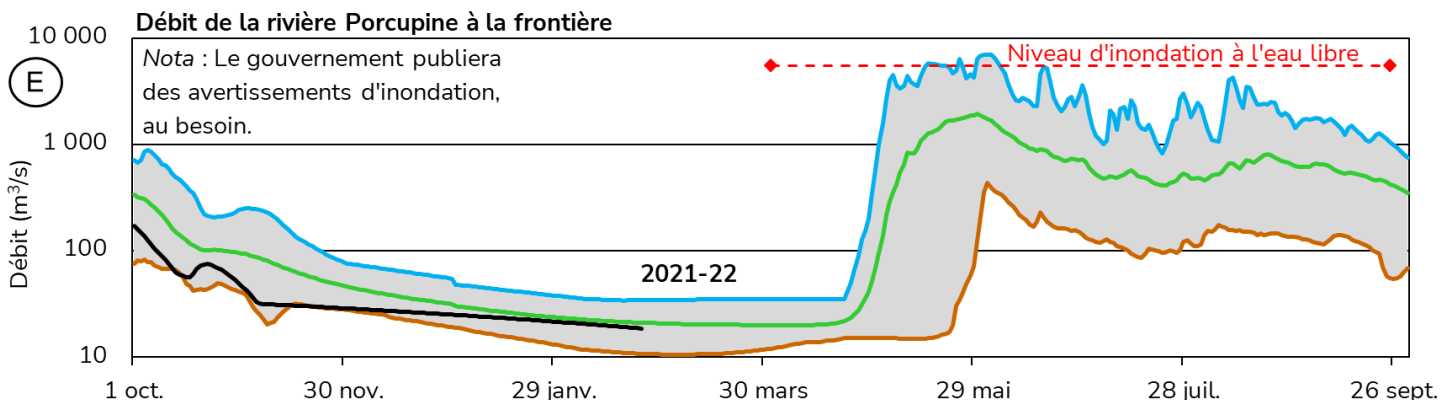
Au 1^{er} mars, l'équivalent en eau de la neige (EEN) moyen dans le bassin de la rivière Porcupine est estimé à **140 %** de la **médiane historique**, soit à **168 mm** (figure B). La moyenne enregistrée pour le bassin dépend en grande partie du résultat du relevé nivométrique à Old Crow, qui a dû être estimé pour le 1^{er} mars. Les profils de neige à la limite orientale du bassin, adjacente à la route Dempster, sont **bien supérieurs à la médiane historique** alors que le cumul des précipitations hivernales à Old Crow est **près de la médiane** (figure C).



Au 1^{er} mars, les degrés-jours de gel cumulés sont **près de la moyenne**, soit à 3 415 °C-jours (figure D), ce qui porte à croire que l'épaisseur du couvert de glace sur les rivières et les lacs de la région est **près de la moyenne**.



Le débit estimé de la rivière Porcupine est **près de la moyenne** (figure E). L'accumulation de neige **supérieure à la médiane** dans le bassin hydrographique augmente les **probabilités de crues importantes au printemps**. Le scénario printanier dépendra des conditions météorologiques en mars et en avril.



BASSINS HYDROGRAPHIQUES ET RELEVÉS NIVOMÉTRIQUES

Date d'échantillonnage : 2022-03-01

Nom	Identifiant	Élévation (m)	Date du relevé	Épaisseur de neige en 2022 (cm)	Contenu en eau (EEN) (mm)	Année dernière EEN (mm)	Médiane historique EEN (mm)	N ^{bre} d'années de données
Bassin de la rivière Alsek								
Lac Canyon	08AA-SC01	1160	2022-02-23	73	137	92	80	44
Ruisseau Alder	08AA-SC02	768	2022-02-25	89	172	194	134	41
Lac Aishihik	08AA-SC03	945	2022-02-23	67	114	88	69	28
Ferme Haines Junction	08AA-SC04	610	2022-02-28	44	87	174	87	22
Summit	08AB-SC03	1000	2022-02-28	110	280	411	230	42
Bassin du fleuve Yukon								
Tagish	09AA-SC01	1080	2022-02-28	83	191	184	127	46
Mont Montana	09AA-SC02	1020	2022-02-24	71	174	220	132	46
Point ferroviaire Log Cabin (C.-B.)	09AA-SC03	884	2022-02-23	135	419	700	324	60
Atlin (C.-B.)	09AA-SC04	730	2022-02-24	57	129	207	99	56
Mont McIntyre B	09AB-SC01B	1097	2022-02-28	102	228 R	189	135	46
Aéroport de Whitehorse	09AB-SC02	700	2022-02-24	71	168	151	91	57
Ruisseau Meadow	09AD-SC01	1235	2022-02-23	153	396	322	246	45
Lac Jordan	09AD-SC02	930	2022-02-23	90	183	172	122	31
Lac Morley	09AE-SC01	824	2022-02-24	93	230	141	127	33
Mont Berdoe	09AH-SC01	1035	2022-02-28	106	217 R	119	96	46
Lac Satasha	09AH-SC03	1106	2022-02-28	73	166 R	101	81	34
Ruisseau Williams	09AH-SC04	914	2022-02-28	85	174 R	104	80	25
Ruisseaux Twin B	09BA-SC02B	900	2022-02-23	114	243 R	146	127	5
Rivière Hoole	09BA-SC03	1036	2022-02-23	95	188	201	116	43
Lac Burns	09BA-SC04	1112	2022-02-23	145	318 R	236	194	33
Piste d'atterrissage Finlayson	09BA-SC05	988	2022-02-23	89	170 R	136	91	35
Lac Fuller	09BB-SC03	1126	2022-02-24	110	223	162	171	32
Lac Russell	09BB-SC04	1060	2022-02-24	148	355 R	201	194	34
Ruisseau Rose	09BC-SC01	1080	2022-03-01	89	195 R	134	97	27
Mont Nansen	09CA-SC01	1021	2022-02-28	74	136 R	84	67	45
MacIntosh	09CA-SC02	1160	2022-02-28	81	185 R	94	78	45
Piste d'atterrissage Burwash	09CA-SC03	810	2022-02-23	47	70	36	40	45
Ruisseau Beaver	09CB-SC01	655	2022-02-23	80	165 R	109	64	46
Mont Chair	09CB-SC02	1067	2022-02-23	66	131 R	71	77	28
Ruisseau Casino	09CD-SC01	1065	A.R.	-	-	112	108	43
Ferme Pelly	09CD-SC03	472	2022-02-27	67	176 R	100	76	35

« E » – Estimation; « B » – Date du relevé en dehors de la plage d'échantillonnage valide; « A.R. » – Aucun relevé, « R » – Nouveau record.

BASSINS HYDROGRAPHIQUES ET RELEVÉS NIVOMÉTRIQUES

Date d'échantillonnage : 2022-03-01

Nom	Identifiant	Élévation (m)	Date du relevé	Épaisseur de neige en 2022 (cm)	Contenu en eau (EEN) (mm)	Année dernière EEN (mm)	Médiane historique EEN (mm)	N ^{bre} d'années de données
Bassin du fleuve Yukon								
Piste d'atterrissage Plata	09DA-SC01	830	2022-02-24	122	265	185	163	40
Lac Withers	09DB-SC01	975	2022-02-24	117	236	167	188	34
Lac Rackla	09DB-SC02	1040	2022-02-24	103	202	147	158	31
Aéroport de Mayo A	09DC-SC01A	540	2022-02-24	78	160	98	92	51
Aéroport de Mayo B	09DC-SC01B	540	2022-02-24	85	172 R	90	93	32
Lac Edwards	09DC-SC02	830	2022-02-24	104	218	167	137	32
Calumet	09DD-SC01	1310	2022-02-23	117	246	167	171	44
Dôme King Solomon	09EA-SC01	1070	2022-02-28	132	316 R	190	147	47
Ruisseau Grizzly	09EA-SC02	975	2022-02-24	102	204	193	148	46
Dôme Midnight	09EB-SC01	855	2022-02-23	126	281 R	190	135	46
Boundary (Alaska)	09EC-SC02	1005	2022-03-01	99	185 E	99	114	43
Bassin de la rivière Porcupine								
Chaînon de Riff	09FA-SC01	650	2022-03-01	88	191	128	130	35
Eagle Plains	09FB-SC01	710	2022-03-01	98	213	141	143	39
Rivière Eagle	09FB-SC02	340	2022-03-01	96	203 R	113 E	109	38
Old Crow	09FD-SC01	299	2022-03-04	78	147 E	A.R.	107	27
Bassin de la rivière Liard								
Aéroport de Watson Lake	10AA-SC01	685	2022-02-28	118	258 R	168	118	57
Piste d'atterrissage Tintina	10AA-SC02	1067	2022-02-23	130	301	265	184	41
Piste d'atterrissage Pine Lake	10AA-SC03	995	2022-02-24	140	344 R	275	187	45
Lac Ford	10AA-SC04	1110	2022-02-23	118	261	236	162	32
Rivière Frances	10AB-SC01	730	2022-02-28	118	237 R	192	139	46
Rivière Hyland	10AD-SC01	855	2022-03-01	115	261	265	155	46
Rivière Hyland B	10AD-SC01B	880	2022-03-01	117	263	276	179	4
Bassin de la rivière Peel								
Rivière Blackstone	10MA-SC01	920	2022-02-24	83	171 R	96	85	46
Rivière Ogilvie	10MA-SC02	595	2022-03-01	75	151	108	90	46
Lac Bonnet Plume	10MB-SC01	1120	2022-02-24	87	154	153	144	31
Relevés nivométriques en Alaska								
Eaglecrest	08AK-SC01	305	2022-03-01	173	668	551	434	39
Pont Moore Creek	08AK-SC02	700	2022-03-01	180	785 R	691	465	29

« E » – Estimation; « B » – Date du relevé en dehors de la plage d'échantillonnage valide; « A.R. » – Aucun relevé, « R » – Nouveau record.

Emplacement des stations nivométriques

